

# СЛОЕНИЕ ЛИУВИЛЛЯ ИЗОЭНЕРГЕТИЧЕСКОЙ ПОВЕРХНОСТИ БИЛЛИАРДНОЙ КНИЖКИ С ПРОСКАЛЬЗЫВАНИЕМ, СОДЕРЖАЩЕЙ ФОКУСЫ

Д. А. Ткаченко<sup>1</sup>

В статье изучена топология невырожденной изоэнергетической поверхности биллиардной книжки, склеенной из  $k$  пар половинок эллипса, посредством вычисления грубой молекулы Фоменко и инвариантов Фоменко-Цишинга.

*Ключевые слова:* биллиард, биллиардная книжка, изоэнергетическая поверхность, динамическая система.

**1. Введение.** Дадим определение биллиарда.

**Определение 1.** Пусть  $\gamma : [a, b] \rightarrow \mathbb{R}^2$  – гладкая регулярная кривая на плоскости  $\mathbb{R}^2$ , ограничивающая некоторую область  $\Omega$ . *Биллиардом в области  $\Omega$*  называется динамическая система, состоящая из области  $\Omega$  и материальной точки, движущейся равномерно прямолинейно без трения внутри этой области, на границе которой точка отражается абсолютно упруго и согласно стандартному закону отражения: угол падения равен углу отражения. При этом задан *билиардный закон*: на фазовом пространстве  $M^4$  динамической системы вводится следующее отношение эквивалентности  $\sim$ :

$$(x, v) \sim (y, w) \iff x = y = x_0, \|v\| = \|w\|, (v - w) \perp T_{x_0} \partial\Omega.$$

Отметим тот факт, что материальная точка, начавшая движение в определённом направлении с фиксированным модулем вектора скорости, будет описывать ту же траекторию, если ей изначально придать другое значение модуля вектора скорости. В этой динамической системе при движении материальной точки сохраняется энергия  $H = v_1^2 + v_2^2$ , где  $v_1, v_2$  – координаты вектора скорости в некоторый момент времени.

**Определение 2.** Биллиард называется *интегрируемым*, если существует функция  $F$  такая, что она сохраняется вдоль траектории материальной точки и функционально независима с функцией  $H$ , то есть вектора  $dH$  и  $dF$  почти всюду линейно независимы.

*Изоэнергетической поверхностью*  $Q_h^3$  называется линия уровня функции  $H$  при значении  $H = h$ , то есть

$$Q_h^3 := \{(x, v) \in M^4 \mid H(x, v) = h\}.$$

Интегрируемость биллиарда в эллипсе была замечена Дж.Д. Биркгофом. Им также была сформулирована гипотеза, утверждающая, что на плоскости на самом деле мало интегрируемых биллиардов. Фактически этот список ограничивается биллиардами в областях, ограниченных прямоугольником или дугами софокусных квадрик. Гипотеза была доказана А.Е. Мироновым.

Рассмотрим на плоскости семейство софокусных квадрик, задаваемое следующим уравнением:

$$(b - \lambda)x^2 + (a - \lambda)y^2 = (a - \lambda)(b - \lambda),$$

где  $a > b$  – фиксированные параметры данного семейства,  $\lambda$  – нефиксированный параметр, меняющийся в пределах отрезка  $[0, a]$ . Звенья траектории материальной точки в плоской области, ограниченной дугами софокусных квадрик, касаются или некоторого эллипса, или некоторой гиперболы из указанного семейства, причём одного и того же эллипса или гиперболы для выбранной траектории. Такая квадрика называется *каустикой*. Параметр  $\lambda = \lambda_0$  этой каустики является первым интегралом этой динамической системы, при этом этот параметр вычисляется по следующей формуле:

$$\lambda_0 = \frac{bv_1^2 + av_2^2 - (v_1x - v_2y)^2}{v_1^2 + v_2^2}.$$

<sup>1</sup> Ткаченко Даниил Андреевич – студент 2-го курса мех.-мат. ф-та МГУ, e-mail: daniil.tkachenko@math.msu.ru.

Tkachenko Daniil Andreevich – Second Year Student, Lomonosov Moscow State University, Faculty of Mechanics and Mathematics.

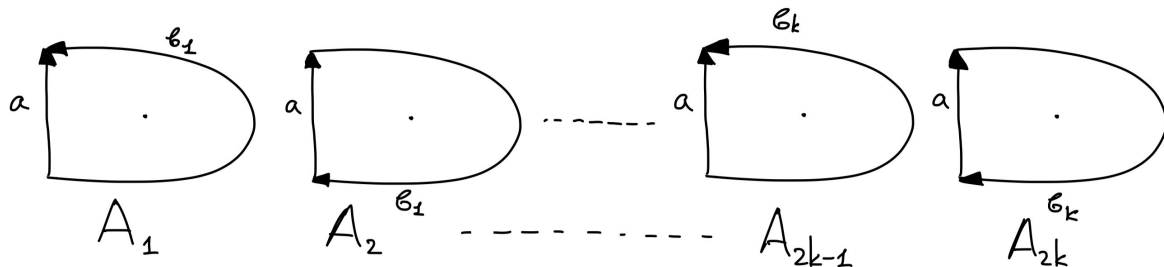
Интегрируемость биллиарда в такой области очевидна, так как звенья траектории или их продолжения будут касаться этой каустики.

Введём конструкцию биллиардной книжки. Зафиксируем некоторую плоскую область, ограниченную дугами софокусных квадрик. Возьмём конечное число дубликатов этих областей и склеим их по граничным дугам. Пусть вдоль некоторой граничной дуги склеено  $k$  плоских биллиардных листов. Занумеруем их числами от 1 до  $k$  включительно и припишем склеенной дуге перестановку  $\sigma \in S_k$ . То есть если материальная точка двигалась на биллиардном листе с номером  $i$ , то после отражения от этой дуги она продолжит движение уже на биллиардном листе с номером  $\sigma(i)$ . Так как звенья траектории или их продолжения по-прежнему будут касаться той же каустики, что и до отражения, биллиардная система останется интегрируемой. Такая конструкция, называемая *билиардной книжкой*, была предложена В.В. Ведюшкиной. Также можно получить новые конструкции, если менять метрику, рассматривать действие потенциального и/или магнитного поля в биллиардной области, а также если ввести проскальзывание. В настоящей статье изучается пример интегрируемого биллиарда, который является биллиардной книжкой с проскальзыванием. Рассмотрение биллиардов с проскальзыванием было введено А.Т. Фоменко. Так как дальше будет рассматриваться биллиардная книжка, составленная из  $k$  пар половинок эллипса, то покажем, что означает проскальзывание на примере эллиптического биллиарда. Это значит, что точка, ударяясь о границу эллипса, проскальзывает вдоль границы на полоборота и вылетает уже из противоположной точки эллипса. То есть точка, столкнувшись о границу эллипса в точке с координатами  $(x, y)$ , переходит в точку с координатами  $(-x, -y)$  и продолжает своё движение внутри эллипса, при этом с вектором скорости, имеющим противоположные координаты относительно вектора скорости, который возникает при обычном отражении материальной точки о границу.

Для исследования слоений Лиувилля невырожденной (т.е. при  $\|v\| > 0$ ) изоэнергетической поверхности биллиардной книжки будем вычислять грубую молекулу Фоменко и меченую молекулу Фоменко-Цишанга [1].

**2. История вопроса.** Изучая слоение Лиувилля невырожденной изоэнергетической поверхности эллиптического биллиарда совместно с В.В. Ведюшкиной, мы перешли к рассмотрению эллиптического биллиарда с проскальзыванием. Эта задача сводилась к биллиарду, состоящему из двух половинок эллипса с проскальзыванием на эллиптических дугах. Это навело нас на мысль изучить слоение Лиувилля невырожденной изоэнергетической поверхности биллиардной книжки с проскальзыванием, склеенной из произвольного количества пар половинок эллипса.

**3. Постановка задачи.** Рассмотрим совокупность  $2k$  половинок эллипса,  $k \in \mathbb{N}$ , и занумеруем их числами от 1 до  $2k$  включительно. Разобьём их по парам и зададим на эллиптических дугах пар проскальзывание (см. рисунок ниже). Границы этих половинок состоят из вырожденной гиперболической и эллиптической дуг. Склейм все эти половинки по соответствующим дугам. Получили CW-комплекс. Одномерной гиперболической клетке припишем перестановку  $\sigma = (1\ 3\ 5\dots 2k-1\ 2\ 4\ 6\dots 2k)$ , а одномерной эллиптической клетке – перестановку  $\pi = (12)(34)(56)\dots(2k-1\ 2k)$ . Тем самым получим биллиардную книжку с проскальзыванием. Обозначим  $i$ -тый биллиардный лист через  $A_i$ , произвольный биллиардный лист – через  $A$  без индекса, а сам биллиард – через  $\mathcal{D}$ . В настоящей статье изучена топология изоэнергетической поверхности биллиарда  $\mathcal{D}$ .



**Утверждение. 1** Траектории на данном биллиарде определены корректно.

**Доказательство.** Для того, чтобы траектории были определены корректно, достаточно, чтобы перестановки  $\sigma$  и  $\pi$  коммутировали. Покажем, что перестановки  $\pi\sigma$  и  $\sigma\pi$  каждый элемент из множества  $X = \{1, 2, \dots, 2k\}$  переводят в одно и то же. Пусть  $j \in X$ .

1. Если  $j$  – чётное число. Тогда если  $j \neq 2k$ , то  $\pi(\sigma(j)) = \pi(j+2) = j+1 = \sigma(j-1) = \sigma(\pi(j))$ .  
Если  $j = 2k$ , то  $\pi(\sigma(2k)) = \pi(1) = 2 = \sigma(2k-1) = \sigma(\pi(2k))$ .
2. Если  $j$  – нечётное число. Тогда если  $j \neq 2k-1$ , то  $\pi(\sigma(j)) = \pi(j+2) = j+3 = \sigma(j+1) = \sigma(\pi(j))$ .  
Если  $j = 2k-1$ , то  $\pi(\sigma(2k-1)) = \pi(2) = 1 = \sigma(2k) = \sigma(\pi(2k-1))$ .

Значит,  $\pi\sigma = \sigma\pi$ . ■

**Утверждение 2.** Пусть имеется биллиардная книжка, описанная выше. Тогда особый слой невырожденной изоэнергетической поверхности данного биллиарда гомеоморфен особому слою 3-атома  $B$ , если  $k$  – чётное, и особому слою атома  $C_2$ , если  $k$  – нечётное. (Описание перестроек торов Лиувилля см. [1].)

Из этого утверждения следует

**Теорема 1.** Граф Фоменко, кодирующий слоение Лиувилля данного биллиарда, изображён в случае чётного  $k$  на рис. 1a, а в случае нечётного  $k$  – на рис. 1b.

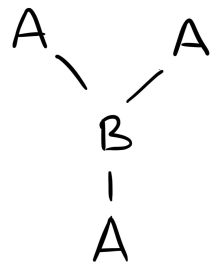


рис. 1a

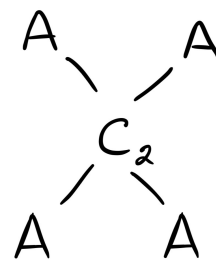


рис. 1б

**Доказательство утверждения 2.** Как было сказано выше, данный биллиард интегрируем. Также напомним, что нас интересуют траектории, проходящие через фокусы и любая точка особого слоя отождествляется с точкой, принадлежащей некоторому листу биллиарда. Поэтому каждая точка области оснащена четырьмя векторами скорости (см. рисунок А).

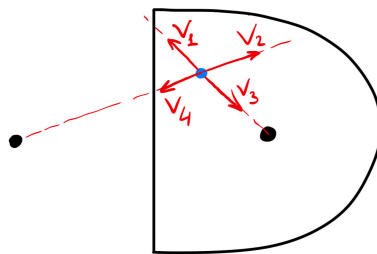


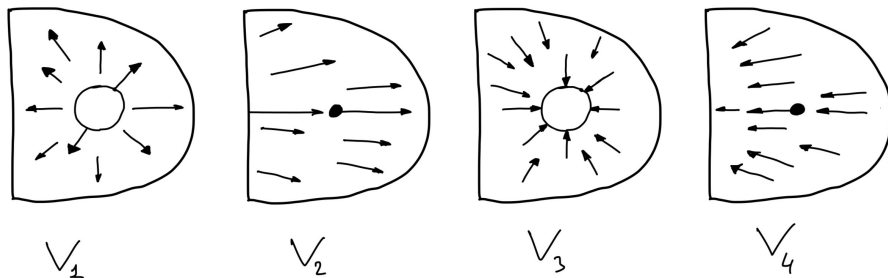
рис. А

Обозначим их следующим образом: вектор  $v_1$  – направлен от фокуса области  $A$ ,  $v_2$  – от фокуса, лежащего вне области  $A$ ,  $v_3$  – к фокусу области  $A$ ,  $v_4$  – к фокусу, лежащему вне области  $A$ . При этом на границах областей имеются следующие отождествления (без учёта смены области  $A$ ):

1. На «гиперболе»:  $v_1 \sim v_2, v_3 \sim v_4$ .

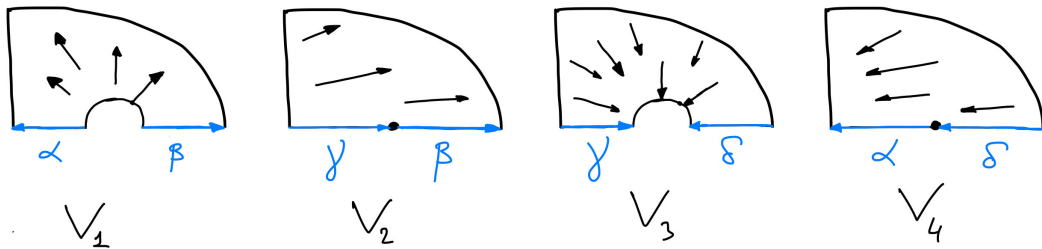
2. На эллипсе:  $v_1 \sim v_4, v_2 \sim v_3$ .

Заметим, что вектора  $v_2$  и  $v_4$  в каждой точке области  $A$  однозначно задаются, однако вектора  $v_1$  и  $v_3$  не во всех точках задаются однозначно. Для того, чтобы исправить это, будем рассматривать вместо области  $A_i$  её четырёх дубликата, на каждом из которых будут располагаться лишь соответствующие векторы скорости. Дубликаты области  $A_i$  обозначим через  $A_i v_1, A_i v_2, A_i v_3, A_i v_4$ , где  $A_i v_j$  – дубликат области  $A_i$  с векторами скорости  $v_j$ . В копиях  $A_i v_1$  и  $A_i v_3$  вместо точки фокуса рассмотрим довольно маленькую окружность, не выходящую из области. Материальная точка, влетающая на эту окружность (в фокус), вылетает из противоположной точки этой окружности. Таким образом, теперь все векторы скорости однозначно задаются:



Всего получилось  $8k$  областей. Разрежем каждую область вдоль горизонтальной прямой, являющейся осью симметрии этой области. Обозначим верхние части разрезанных областей через  $a^j$ , а нижние – через  $a_j$ , где  $j$  – номер соответствующей области  $A_j$ . Введём для дубликатов  $a_j$  и  $a^j$  аналогичные областям  $A_j$  обозначения:  $a_j v_1, a^j v_1, \dots, a_j v_4, a^j v_4$ . В итоге имеется  $16k$  новых областей, которые дальше будем именовать кусочками или элементами и которые поделены на группы: у одних индекс располагается вверху буквы, у других – внизу буквы.

Векторы, расположенные на горизонтальных отрезках элементов  $a v_i$  (через  $a$  будем обозначать произвольный кусочек), обозначим буквами  $\alpha, \beta, \gamma, \delta$ , как показано на рисунке ниже.



Через  $\square_j$ , где  $\square \in \{\alpha, \beta, \gamma, \delta\}$ , будем обозначать вектор  $\square$ , принадлежащий кусочку  $a_j$  или  $a^j$ .

В итоге имеем фигуры, гомеоморфные треугольникам и пятиугольникам. Задача свелась к их склеиванию. Будем строить следующую цепь из последовательных склеек:



Пояснение к рисунку выше. Непосредственные склейки происходят по эллипсу, вырожденной гиперболе и по расширенному фокусу. Цепь начинается с кусочка  $a^1 v_1$ . Материальная точка будет двигаться внутри этой цепи, переходя через склейки. Буквами  $\sigma$  и  $\pi$  около некоторых рёбер показано то, каким образом материальная точка проходит через это ребро: применяется соответствующая перестановка. Цепь состоит из цельных блоков, которые, в свою очередь, состоят из четырёх кусочков. Склейки  $F = \alpha_1 \gamma_3 \beta_3 \delta_4 \alpha_4 \gamma_6 \beta_6 \dots \alpha_{2k-1} \gamma_2 \beta_2 \delta_1$ ,  $G = \beta_1 \delta_2 \alpha_2 \gamma_4 \beta_4 \delta_3 \alpha_3 \dots \beta_{2k-1} \delta_{2k} \alpha_{2k} \gamma_1$ .

**Факт 1.** При переходе через вырожденную  $\sigma$ -гиперболу индекс у элемента  $a$  остаётся на своём месте, а число меняется согласно перестановке  $\sigma$ ; при переходе через  $\pi$ -эллипс индекс меняет своё положение и число согласно перестановке  $\pi$ .

**Доказательство.** Все «гиперболические» стрелки одинаково ориентированы, поэтому точка, находящаяся в элементе  $a^j$ , перейдёт по вырожденной гиперболе в кусок  $a^{\sigma(j)}$ , также имеющий верхний индекс; аналогично с нижней частью. Рассмотрим области  $A_{2i-1}$  и  $A_{2i}$ ,  $i = 1, \dots, k$ . У этих областей стрелки, лежащие на эллиптических дугах, противоположно ориентированы, поэтому материальная точка, движущаяся в элементе  $a^i$ , ударившись о эллиптическую границу, продолжит своё движение в элементе  $a_{\pi(i)}$ . При этом, как видно, индекс либо опустится, либо поднимется. ■

**Факт 2.** Существует  $m \in \mathbb{N}$ , что  $\pi^m \sigma^m = id$ , где  $id \in S_{2k}$  – тождественная перестановка. Причём если  $k$  – чётное, то  $m = 2k$ , а если  $k$  – нечётное, то  $m = k$ .

**Доказательство.** Пусть построена цепь, начинающаяся с элемента  $a_1 v_1$ . Тогда цепь обрывается, когда  $\pi(2) = 1$ . Идя по верхнему ярусу цепи, будем записывать справа налево последовательность перестановок  $\sigma$  и  $\pi$ , которые мы проходим. Пройдя всю цепь, получим следующую последовательность перестановок:  $\underbrace{\pi \sigma \pi \sigma \dots \pi \sigma}_m$ , где  $m \in \mathbb{N}$  – количество пар  $\pi \sigma$ . Причём, как видно,  $m$  – количество цельных блоков. В силу коммутативности перестановок имеем

$$\underbrace{\pi \sigma \pi \sigma \dots \pi \sigma}_m = \pi^m \sigma^m, \quad (1)$$

то есть можно сгруппировать перестановки. Чтобы цепь была закончена, должно выполняться равенство  $\pi^m \sigma^m(1) = 1$ . Отметим тот факт, что нас интересует минимальное такое число  $m$ , что верно предыдущее равенство.

Заметим, что  $\pi^p = id$ , если  $p$  чётно, и  $\pi^p = \pi$ , если  $p$  нечётно, так как перестановка  $\pi$  разложена в произведение независимых транспозиций. Ввиду равенства (1) достаточно сперва воспользоваться всеми перестановками  $\sigma$ , а потом уже и перестановками  $\pi$  (либо  $\pi$ , либо  $id$ ). Нужно ещё учесть условие  $\pi^m \sigma^m(1) = 1$ . Это равенство выполняется, когда  $\sigma^m(1) \in \{1, 2\}$ .

Пусть  $\sigma^m(1) = 2$ . Это верно тогда, когда  $m = k$ . Тогда должно быть  $\pi^k(2) = 1$ . А это верно тогда, когда  $k$  – нечётное.

Пусть  $\sigma^m(1) = 1$ . Это верно тогда, когда  $m = 2k$ . Тогда должно быть  $\pi^k(1) = 1$ . Это верно тогда, когда  $k$  – чётное.

Таким образом, у нас есть два значения для  $m$ , зависящие от чётности  $k$  – это  $k$  и  $2k$ . Возьмём произвольный элемент  $j \in X$ . При  $m = 2k$  имеем, что  $\pi^m = id$  и  $\sigma^m(j) = j$ , так как проходим

весь цикл  $\sigma$ . При  $m = k$  имеем, что  $\pi^m = \pi$  и число  $j$  посредством  $\sigma^m$  переходит в число  $\sigma^m(j)$ , которое после  $\pi$  превращается в  $\pi(\sigma^m(j)) = j$ . По итогу  $\pi^m \sigma^m = id$  при найденных  $m$ . ■

**Факт 3.** Начав построение цепи с элементов  $a_j$  и  $a^j$ , мы получим одинаковые по длине и верхним и нижним склейкам цепи.

**Доказательство.** Действительно, отметим лишь тот факт, что вторая цепь получается из первой только соответствующими опусканиями и подниманиями индекса у букв  $a$ . Очевидно, что это никак не скажется на верхних и нижних склейках. Боковые склейки, естественно, различны у этих цепей. ■

Рассмотрим случай, когда  $k$  – чётное. Тогда  $m = 2k$ . Так как  $m$  – количество цельных блоков, то количество использованных кусочков в цепи с началом, например,  $a_1 v_1$  равно  $8k$ . Ввиду факта 3 есть другая цепь с началом  $a^1 v_1$  и такой же длины. Поскольку всего элементов  $16k$  штук, имеется лишь две цепи. Нетрудно заметить, что в этом случае склейки  $F$  и  $G$  равны. Поэтому после склейки цепей получим 3-атом  $B$ .

Рассмотрим случай, когда  $k$  – нечётное. Тогда  $m = k$ . Так как  $m$  – количество цельных блоков, то количество использованных кусочков в цепи с началом, например,  $a^1 v_1$  равно  $4k$ . Пользуясь фактом 3, получаем ещё одну цепь с  $4k$  кусочков и с началом  $a_1 v_1$ . Покажем, что кусочков  $a^2 v_1$  и  $a_2 v_1$  не может быть в построенных выше цепях.

Рассмотрим  $\pi^t \sigma^t(1)$  при  $1 \leq t \leq k - 1$ . При больших  $t$  рассматривать не имеет смысла, поскольку цепь начнёт повторяться. Тогда  $\sigma^t(1) = 1 + 2t \in \{1, 3, \dots, 2k - 1\}$ , то есть  $\sigma^t(1)$  – нечётное число. Если  $t$  – чётное, то  $\pi^t \sigma^t(1) = 1 + 2t \neq 2$  ни при каких  $1 \leq t \leq k - 1$ . Если  $t$  – нечётное, то  $\pi^t \sigma^t(1) = 2 + 2t \neq 2$  ни при каких  $1 \leq t \leq k - 1$ . Тем самым в первых двух цепях нет кусочков  $a^2 v_1$  и  $a_2 v_1$ . Ввиду этого в одной и той же цепи верхняя и нижняя склейки будут различными. Построим две цепи, с началами  $a^2 v_1$  и  $a_2 v_1$ . Из факта 3 следует, что эти цепи также будут длины  $k$ , потому будут иметь также по  $4k$  кусочков.

По итогу у нас имеются четыре цепи, очевидно, с одинаковыми соответствующими верхними и нижними склейками. После их склейки получим 3-атом  $C_2$ . Таким образом, утверждение 2 доказано. ■

## СПИСОК ЛИТЕРАТУРЫ

1. Болсинов А.Б., Фоменко А.Т. Интегрируемые гамильтоновы системы. Геометрия, топология, классификация. Том I. — Ижевск: Издательский дом «Удмуртский университет», 1999. 444с.
2. Liouville Foliations of Topological Billiards with Slipping / Fomenko A.T., Vedyushkina V.V., Zav'yalov V.N. // Russian Journal of Mathematical Physics. - 2021. - N. 28 - C. 37-55.